



Bore V. Jegdić¹, Biljana M. Bobić¹, Bojana M. Radojković¹

Veza između korozionog potencijala i različitih vidova korozije metala i legura i njihovih zavarenih spojeva - II deo

Relationship between corrosion potential and different corrosion forms of metals, alloys and their welded joints - Part II

Originalni naučni rad / Original scientific paper

UDK / UDC: 620.193:621.791.05

Rad primljen / Paper received:

Maj 2018.

Ključne reči: korozija, korozioni potencijal, metali i legure, zavareni spojevi

Izvod

U ovom radu opisana je zavisnost vrednosti korozionog potencijala i različitih vidova korozije metala i legura i njihovih zavarenih spojeva. Pokazano je kako se primenom metode elektrohemiskog šuma, na osnovu vrednosti korozionog potencijala, može predvideti sklonost metala i legura i njihovih zavarenih spojeva prema različitim vidovima lokalizovane korozije, kao što je pitting korozija. Takođe je pokazano da se na osnovu vrednosti korozionog potencijala može predvideti sklonosti aluminijumskih legura prema naponskoj koroziji. Ilustrovana je povezanost vrednosti korozionog potencijala i tipa inhibitora korozije. Razmatrana je povezanost korozionog potencijala sa sklonošću nerđajućeg čelika prema pitting koroziji, kao i sklonošću hirurških implantanata prema galvanskoj koroziji. Kriterijumi protektorske i aktivne katodne zaštite se zasnivaju na merenju korozionog potencijala. Takođe, stanje armature u betonu se može proceniti na osnovu vrednosti korozionog potencijala. Sklonost metalnih (čeličnih) konstrukcija i njihovih zavarenih spojeva prema pojavi vodonične krtosti u značajnoj meri zavisi od vrednosti korozionog potencijala čelika u dotoj korozionoj sredini. Zbog velikog broja primena merenja korozionog potencijala, rad je podeljen na dva dela (deo I i deo II).

UVOD

Kod zavarenih spojeva se, pored strukturnih promena i dejstva naponskog i termičkog gradijenta, često javlja i hemijska nehomogenost. Navedene promene u znatnoj meri utiču na mehaničke karakteristike i koroziono ponašanje

Adresa autora / Author's address:

¹Univerzitet u Beogradu, Institut za hemiju, tehnologiju i metalurgiju, IHTM, Njegoševa 12.

Autor za prepisku: borejegdic@yahoo.com (Bore V. Jegdić)

Key words: corrosion, corrosion potential, metals and alloys, welded joints

Abstract

This paper describes the correlation between the value of the corrosion potential and various types of corrosion of metals and alloys and their welded joints. It is shown that using the method of electrochemical noise is possible to predict the tendency of metals and alloys and their welded joints to different forms of localized corrosion (e.g. pitting corrosion), on the basis of the corrosion potential value. Also, there is a correlation between the value of corrosion potential and the tendency of aluminum alloys to stress corrosion cracking. The correlation between the value of the corrosion potential and the type of corrosion inhibitor is presented. In addition, the correlation between corrosion potential and tendency of stainless steels to pitting corrosion, as well as the tendency of surgical implants to galvanic corrosion was considered. Criteria for sacrificial and active cathodic protection are based on the measurements of corrosion potential. Also, the corrosion behaviour of steel armature in concrete depends on the value of corrosion potential. The susceptibility of metal (steel) constructions and their welded joints to hydrogen embrittlement depends to a considerable extent on the corrosion potential of steel in the given corrosion environment. Due to a large number of applications of corrosion potential measurements, this study is divided into two parts (Part I and Part II).

zavarenih spojeva. Kod zavarenih spojeva postoji nekoliko različitih zona. Zona topljenja, ili oblast metala šava, nastaje popunjavanjem prethodno pripremljenog žleba rastopljenim dodatnim materijalom. Po završetku očvršćavanja metal šava



ima karakterističnu strukturu livenja. Sloj koji poslednji očvršćava ima izrazito dendritnu strukturu, za koju je karakteristična pojava likvacije, tj. lokalne hemijske nehomogenosti, zbog nedostatka vremena za difuziju atoma legirajućih elemenata. Hemijska heterogenost je često uzrok pojave lokalnih vidova korozije. U zoni uticaja topote (ZUT), pri zagrevanju i hlađenju tokom zavarivanja, dolazi do različitih faznih i strukturnih transformacija. Na primer, kod nerđajućih čelika i aluminijumskih legura često dolazi do izdvajanja određenih faza po granicama zrna i pojave interkristalne korozije.

Pri koroziji metala na površini metala teku istovremeno dve ili više elektrohemskijskih reakcija. Anodna reakcija je rastvaranje metala, odnosno prelazak metalnih jona u rastvor. Katodna reakcija je redukcija nekog oksidacionog sredstva koje je prisutno u rastvoru. To je najčešće redukcija kiseonika ili razlaganje vode. U kiseloj sredini se istovremeno odvija i reakcija redukcije vodoničnih jona. Tokom odigravanja elektrohemskijske korozije na površini metala se uspostavlja korozioni potencijal E_{kor} (potencijal otvorenog kola ili mešoviti potencijal), pri kome je brzina anodne reakcije jednaka brzini katodne reakcije. Vrednost E_{kor} zavisi od prirode metala, stanja njegove površine, sastava i koncentracije elektrolita, temperature itd.

U ovom radu opisana je primena merenja korozionog potencijala E_{kor} za određivanje sklonosti metala i legura i njihovih zavarenih spojeva prema različitim vidovima korozije. Na osnovu vrednosti E_{kor} metala u nekoj korozionoj sredini može se proceniti koroziono ponašanje metala i njihovih zavarenih spojeva, tj. proceniti opasnost od galvanske, piting, interkristalne i naponske korozije, kao i sklonost prema vodoničnoj krtosti. Takođe, na osnovu vrednosti E_{kor} može se proceniti kompatibilnost metalnih implantata koji su u električnom kontaktu, a koji se ugrađuju u ljudski organizam, mogu se odrediti strukturalna i druga metalurška stanja aluminijumskih legura, proceniti opasnost od korozije čelične armature u betonu, proceniti pravilno funkcionisanje anoda za protektorsku katodnu zaštitu itd. Navedene primene merenja E_{kor} su ilustrovane eksperimentalnim rezultatima autora rada, kao i primerima iz literature. Zbog velikog broja primena merenja E_{kor} , ovaj pregledni rad je podeljen na dva dela (deo I i deo II).

Postupak merenja korozionog potencijala

Apsolutnu vrednost korozionog potencijala nije moguće izmeriti, već se korozioni potencijal meri u odnosu na neku drugu elektrodu koja se naziva referentna elektroda. Za merenje korozionog potencijala nije potrebna skupa i sofisticirana oprema. Dovoljno je imati neku od referentnih elektroda i uređaj za merenje potencijala, kao što su komercijalni multimetri.

U svojstvu referentne elektrode može se upotrebiti neka od referentnih elektroda navedenih u I delu ovog rada [1]. U laboratorijskim uslovima najčešće se koristi zasićena kalomelova elektroda (SCE) ili srebro/srebro-hloridna elektroda (AgCl), a za terenska merenja korozionog potencijala najčešće se koristi zasićena bakar-sulfatna elektroda (CuSO_4). Referentna elektroda uvek ima konstantan i stabilan potencijal, nezavisno od sastava i koncentracije rastvora u koji je uronjena.

Vrednost korozionog potencijala je merilo termodinamičke otpornosti metala prema koroziji. Što je vrednost E_{kor} pozitivnija, manja je termodinamička pogonska sila za odvijanje procesa korozije. U realnim uslovima brzina korozije metala često nije u skladu sa ovom termodinamičkom tendencijom. Na primer, ugljenični čelici su termodinamički stabilniji od legura cinka (čelici imaju pozitivniju vrednost korozionog potencijala nego legure cinka). Međutim, u realnim uslovima legure cinka korodiraju znatno sporije (nego čelici) zbog obrazovanja stabilnog kompaktnog sloja korozionih produkata. U slučaju čelika sloj korozionih produkata (rđa) slabije štiti osnovni metal (čelik) od korozije.

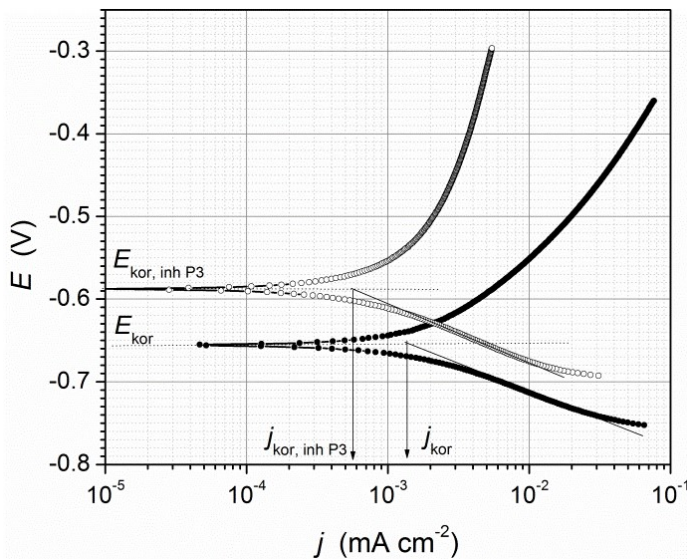
Titan je reaktivni metal, ali je zbog obrazovanja pasivnog sloja stablan u velikom broju korozionih sredina, odnosno veoma je otporan na koroziju. Sličan slučaj je kod legura aluminijuma i nerđajućih čelika.

Pri promeni spoljnijih uslova, metal može preći iz pasivnog stanja u aktivno stanje. Taj proces se naziva aktivacijom i najčešće se odvija lokalno (piting korozija, korozija u zazorima itd.). Pri tome dolazi do pomeranja E_{kor} ka negativnijim vrednostima. Sa druge strane, prevođenje metala iz aktivnog u pasivno stanje se može ostvariti dejstvom nekog oksidacionog sredstva (HNO_3 , K_2CrO_4), koje pomera korozioni potencijal ka pozitivnijim vrednostima (pasivna oblast).



Korozioni potencijal i inhibitori korozije

Najčešća klasifikacija inhibitora korozije je na anodne, katodne i mešovite inhibitore. Anodni inhibitori korozije smanjuju brzinu anodne reakcije u korozionom procesu i pomeraju E_{kor} ka pozitivnijim vrednostima. Katodni inhibitori korozije smanjuju brzinu katodne reakcije i pomeraju E_{kor} ka negativnijim vrednostima. Mešoviti inhibitori korozije smanjuju brzinu obe reakcije (anodne i katodne), pri čemu korozioni potencijal E_{kor} zadržava približno istu vrednost.



Slika 1. Eksperimentalni Tafelovi dijagrami za niskolegirani ugljenični čelik, bez inhibitora i u prisustvu inhibitora korozije u rastvoru [2].

Korozioni potencijal i elektrohemski šum

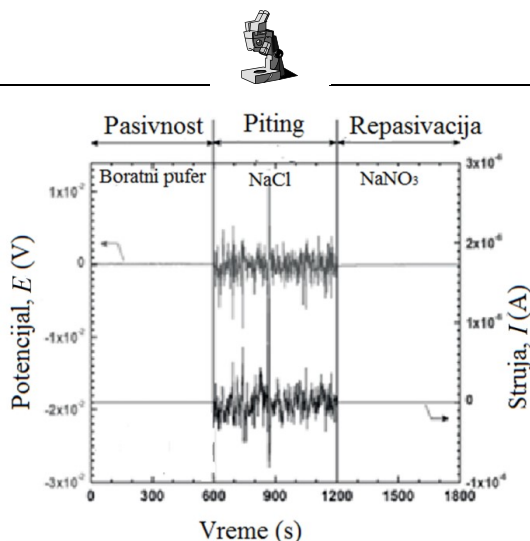
Nova elektrohemskijska metoda određivanja sklonosti metala i legura i njihovih zavarenih spojeva prema različitim vidovima korozije zasniva se na merenju elektrohemskog šuma. Metoda je našla veliku primenu za ispitivanja korozije metala u hemijskoj procesnoj industriji i drugim granama industrije.

Dva identična uzorka od istog materijala se ispituju na korozionom potencijalu, bez nametanja spoljašnjeg potencijala. Registruju se male fluktuacije potencijala i struje, koje su posledica odvijanja katodnih i anodnih reakcija u korozionom procesu. Izmerene fluktuacije potencijala i struje se kompjuterski obrađuju i dobija se vrednost otpornosti šuma R_n . Otpornost šuma R_n se izračunava kao odnos standardne devijacije potencijala i standardne devijacije struje. Pokazano je da je vrednost R_n obrnuto proporcionalna brzini korozije.

Na slici 1 su prikazani Tafelovi dijagrami za niskolegirani ugljenični čelik u rastvoru NaCl, bez inhibitora i u prisustvu inhibitora korozije (komercijalni inhibitor oznake P3). U prisustvu navedenog inhibitora korozioni potencijal E_{kor} je pomeren ka pozitivnijim vrednostima, a anodna reakcija se odvija manjom brzinom. To znači da je gustina struje korozije j_{kor} , odnosno brzina korozije v_{kor} , znatno manja u prisustvu inhibitora.

Pomoću metode elektrohemskog šuma lako se mogu otkriti oblici lokalizovane korozije, kao što je piting korozija, naponska korozija itd.

Na slici 2 prikazani su rezultati ispitivanja aluminijuma metodom elektrohemskog šuma, u skladu sa standardom ISO 17093 [3]. U boratnom pufferu, aluminijum se nalazi u pasivnom stanju i fluktuacije potencijala i struje su veoma male (početni deo dijagrama). Posle dodavanja hloridnih jona u boratni puffer pojavljuju se jasno vidljivi pikovi potencijala i struje (srednji deo dijagrama). Ovo ukazuje na pojavu piting korozije aluminijuma u prisustvu hloridnih jona. Kada se u boratni puffer koji sadrži hloridne jone doda natrijum-nitrat (NaNO_3) dolazi do repasivacije pitova na aluminijumu i fluktuacije potencijala i struje su ponovo veoma male. NaNO_3 je efikasan inhibitor koji sprečava odvijanje piting korozije aluminijuma. Standardi ASTM G199 [4] i ISO 17093 [3] opisuju postupke primene metode elektrohemskog šuma.

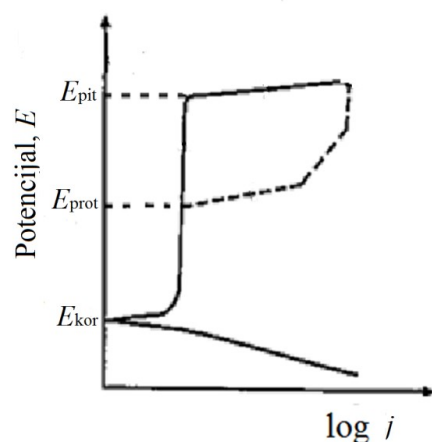


Slika 2. Eksperimentalni rezultati dobijeni metodom elektrohemiskog šuma za aluminijum[3].

Korozioni potencijal i piting korozija zavarenih spojeva nerđajućih čelika

Otpornost nerđajućih čelika i njihovih zavarenih spojeva prema koroziji je posledica formiranja tankog, adherentnog pasivnog filma na površini, koji razdvaja čelik od korozione sredine. U prisustvu halogenih jona (npr. u vodenim rastvorima NaCl), može doći do narušavanja kompaktnosti pasivnog filma i obrazovanja pitova. Razaranje pasivnog filma u prisustvu NaCl se odvija lokalno, na mestima gde je narušena struktura ili debljina pasivnog filma. Na tim mestima dolazi do obrazovanja pitova. U slučaju zavarenih spojeva pitovi se lakše obrazuju na mestima metalurške heterogenosti metala. Na primer, hromom osiromašene oblasti, koje nastaju kada se austenitni nerđajući čelik zagreva do temperature na kojoj se odvija senzibilizacija, su podložne pitingu. Pitovi takođe mogu da se obrazuju na granicama faza austenit-ferit u zavarenim spojevima nerđajućih čelika. Verovatnoća obrazovanja pitova u metalu šava je velika, zbog postojanja mikrosegregacija u dendritnoj strukturi.

Određivanje otpornosti nerđajućih čelika prema piting koroziji se često vrši elektrohemiskom potenciodinamičkom metodom u skladu sa standardima ASTM G 61 [5] i ISO 15158 [6]. Pored vrednosti piting potencijala E_{pit} , često se određuje vrednost zaštitnog potencijala E_{prot} , tj. vrednost potencijala kada pitovi prestaju da rastu (slika 3). Na potencijalima pozitivnijim od E_{pit} obrazuju se pitovi, koji dalje stabilno rastu. U oblasti između E_{pit} i E_{prot} ne dolazi do obrazovanja novih pitova, već do rasta postojećih. Pri potencijalima negativnijim od E_{prot} zaustavlja se rast obrazovanih pitova. Kao merilo otpornosti nerđajućeg čelika prema obrazovanju pitova uzima se vrednost E_{pit} ili vrednost $E_{pit}-E_{kor}$, dok se kao merilo otpornosti nerđajućeg čelika prema koroziji u zazorima često uzima vrednost E_{prot} ili vrednost $E_{prot}-E_{kor}$. Ako se metal ne repasivira pre nego što se dostigne vrednost korozionog potencijala E_{kor} to znači da je metal veoma osjetljiv na pojavu korozije u zazorima.

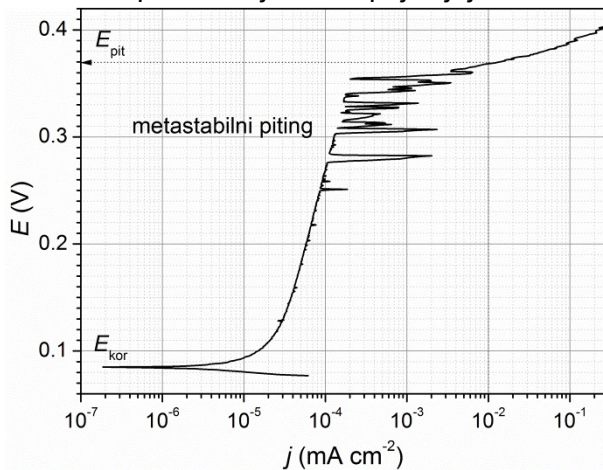


Slika 3. Šematski prikaz određivanja parametara piting korozije potenciodinamičkom metodom.



Potenciodinamička metoda primenjena je za ispitivanje piting korozije nerđajućeg čelika u rastvoru $\text{NaCl} + \text{Na}_2\text{SO}_4$, na sobnoj temperaturi. Po uspostavljanju stabilnog korozionog potencijala E_{kor} na čeliku snimljene su anodne krive polarizacije

(slika 4). Piting potencijal E_{pit} određen je kao potencijal koji odgovara gustini anodne struje od $10 \mu\text{A cm}^{-2}$, u oblasti stabilnog rasta pitova (prema ISO 15158). Na slici 4 se takođe vidi oblast u kojoj se pojavljuje metastabilni piting.

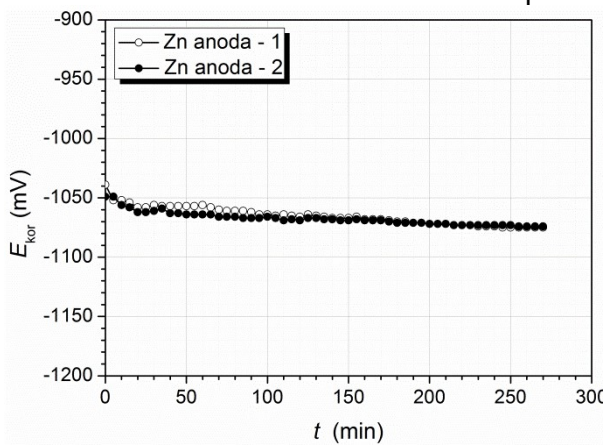


Slika 4. Eksperimentalni potenciodinamički dijagram za određivanje parametara piting korozije nerđajućeg čelika [7]

Korozioni potencijal i katodna zaštita (protektorska i aktivna)

U nekim uslovima anode na bazi Mg, Al, ili na bazi Zn, za protektorskiju katodnu zaštitu (bez spoljašnjeg izvora struje) postaju nedovoljno aktivne, jer je došlo do njihovog pasiviranja. Korozioni potencijal tih anoda se pomera u pozitivniju oblast. Usled nedovoljne razlike korozionih potencijala anoda i metala konstrukcije, efikasnost anoda se znatno smanjuje i one ne uspevaju da u potpunosti katodno zaštite metalnu konstrukciju od korozije.

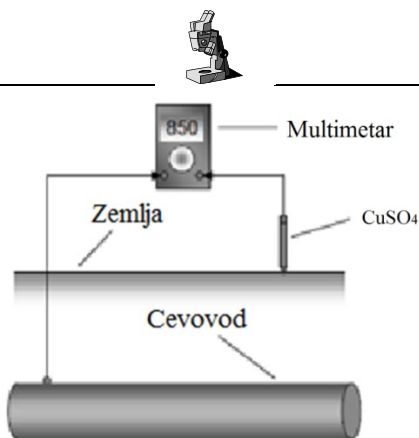
Provera pravilnog rada anode za protektorskiju zaštitu se često vrši merenjem vrednosti njenog korozionog potencijala u dатoj korozionoj sredini. Na slici 5 su prikazani rezultati merenja E_{kor} anoda na bazi Zn, u rastvoru NaCl . Posle ~ 10 min, uspostavlja se stabilna negativna vrednost E_{kor} od $\sim -1070 \text{ mV}$. Ta vrednost E_{kor} ostaje konstantna tokom celog perioda merenja ($\sim 4,5 \text{ h}$). Standard ASTM G97 [8] opisuje postupke provere pravilnog rada anoda za protektorskiju katodnu zaštitu.



Slika 5. Korozioni potencijal E_{kor} anoda na bazi Zn u NaCl .

Tokom izvođenja aktivne katodne zaštite (sa spoljašnjim izvorom struje) predhodno se vrši merenje korozionog potencijala konstrukcije u zemljištu ili drugoj korozionoj sredini, kao što je beton ili prirodne vode. Na osnovu vrednosti izmerenog E_{kor} bira se odgovarajući kriterijum za

aktivnu katodnu zaštitu, u skladu sa standardima NACE TM0497, NACE TM0108 i NACE TM0109 [9]. Na slici 6 je šematski prikazan postupak merenja potencijala cevovoda tokom izvođenja katodne zaštite, pomoću bakar-sulfatne referentne elektrode.



Slika 6. Postupak merenja potencijala podzemnog cevovoda.

Korozioni potencijal čelične armature u betonu

Čelična armatura u betonu je često otporna na koroziju (pasivirana) usled relativno visoke pH vrednosti betona. U takvim uslovima armatura u betonu ima vrednost E_{kor} koja odgovara pasivnom stanju čelika. Ukoliko dođe do prodora koroziono-agresivnih supstanci iz okolne sredine (kao što su hloridni joni), narušava se pasivno stanje armature u betonu i dolazi do aktivne ravnomerne ili lokalizovane korozije čelične armature. Na tim mestima E_{kor} postaje znatno negativniji. Standard

ASTM C876 [10] opisuje postupak merenja E_{kor} čelične armature u betonu (slika 7) i daje kriterijume na osnovu kojih se može proceniti stanje čelične armature u betonu (tabela 1). Merenja E_{kor} se izvode na prethodno ovlaženoj površini betona, na rastojanjima koja obezbeđuju dobijanje vrednosti E_{kor} pri uzastopnim merenjima u granicama od 50 mV. Navedeni ASTM standard je definisao kriterijume za verovatnoću pojave korozije čelične armature u betonu (tabela 1). U literaturi postoje precizniji kriterijumi za određivanje pojave korozije čelične armature u betonu (tabela 2).

E_{kor} vs ZKE (mV)	Stanje čelične armature u betonu
$E_{kor} > -200$	Verovatnoća da nema korozije armature u betonu veća je od 90 %
$-200 > E_{kor} > -350$	Koroziona aktivnost armature u betonu je neodređena
$E_{kor} < -350$	Verovatnoća da ima korozije armature u betonu je veća od 90 %

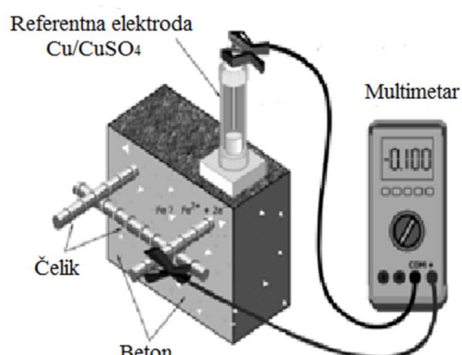
Tabela 1. Kriterijumi za procenu stanja čelične armature u betonu sa stanovišta korozije [10]

E_{kor} vs ZKE (mV)	Sklonost ka pojavi korozije čelične armature u betonu
$E_{kor} > -150$	Nema sklonosti
$-150 > E_{kor} > -250$	Blaga sklonost
$-250 > E_{kor} > -350$	Prilično visoka sklonost
$E_{kor} < -350$	Visoka sklonost

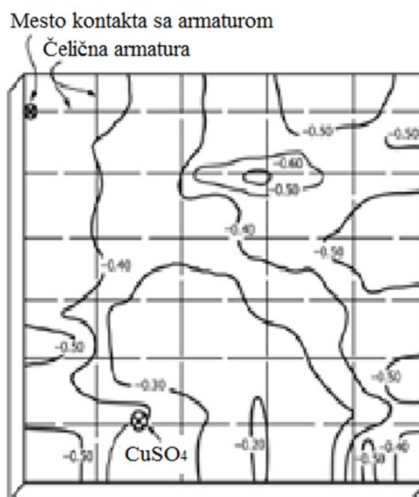
Tabela 2. Kriterijumi za ocenu sklonosti čelične armature u betonu prema koroziji [11]

Merenje E_{kor} se izvode na više mesta na površini betonske konstrukcije u koju je ugrađena čelična armatura. Na osnovu dobijenih rezultata prave se

mapa korozionih potencija za čeličnu armature u betonu (slika 8).



Slika 7. Postupak merenja korozionog potencijala čelične armature u betonu.

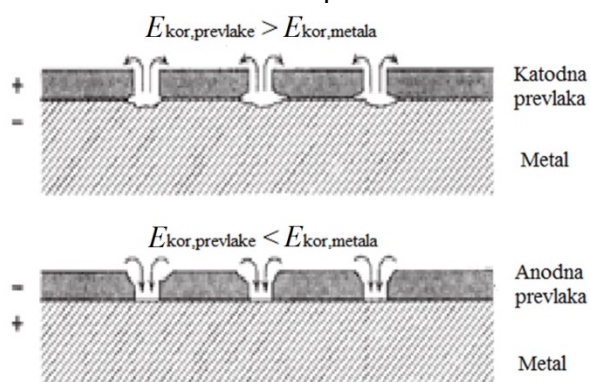


Slika 8. Mapa korozionog potencijala čelične armature u betonu.

Korozioni potencijal metalnih prevlaka

Za zaštitu od korozije konstrukcija izrađenih od čelika i drugih metala i legura, kao i njihovih zavarenih spojeva često se koriste galvanske i druge metalne prevlake. Metalne prevlake mogu imati korozioni potencijal E_{kor} pozitivniji ili negativniji od E_{kor} osnovnog metala, npr. čelika. Prevlake aluminijuma, cinka, cink-nikla, titan-nikla itd. na čelicima imaju negativniji korozioni potencijal od čelika u većini korozionih sredina. Takve prevlake

su anodne u odnosu na osnovni metal-čelik. Te prevlake se postepeno rastvaraju i katodno štite čelik u porama i defektima prevlake. Prevlake bakra, nikla, kalaja, hroma itd. imaju pozitivniji E_{kor} u odnosu na E_{kor} čelika. Te prevlake su katodne u odnosu na osnovni metal-čelik. One štite čelik od korozije samo ako nisu porozne. U praksi nije moguće naneti galvansku prevlaku koja je potpuno bez pora. U porama dolazi do rastvaranja osnovnog metala-čelika. Na slici 9 su šematski prikazane anodne i katodne prevlake na čeliku.



Slika 9. Šematski prikaz katodnih i anodnih prevlaka na metalu [12].

Višeslojne prevlake nikla imaju veliku primenu za zaštitu od korozije predmeta od čelika. Potpuna zaštita čelika od korozije pomoću višeslojnih prevlaka nikla se ostvaruje ako pojedini slojevi nikla imaju određenu vrednost E_{kor} i ako postoji odgovarajuća razlika vrednosti E_{kor} između pojedinih slojeva nikla. Standard EN 16866 [13] opisuje postupak određivanja E_{kor} i razlike u vrednostima E_{kor} pojedinih slojeva nikla, kod višeslojnih prevlaka nikla. Navedeni postupak se naziva STEP postupak.

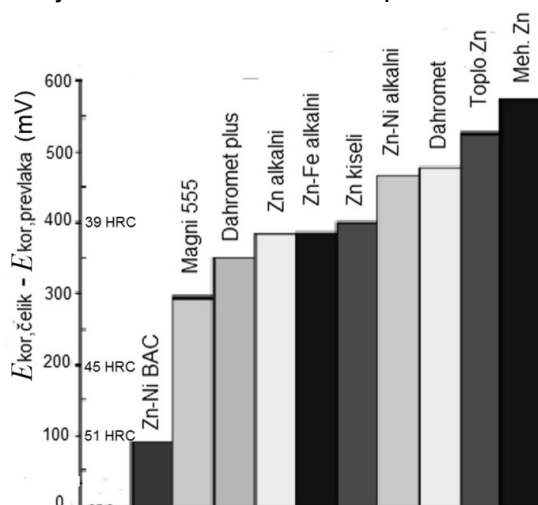
Korozioni potencijal i vodonična krtost

Utvrđeno je da se u porama i defektima anodnih prevlaka (slika 9), na površini čelika i njegovih zavarenih spojeva odvija intenzivna katodna reakcija, obično uz izdvajanje vodonika iz vode ili usled redukcije vodoničnih jona. Deo nastalog vodonika difunduje u čelik i posle određenog inkubacionog vremena (kada se postigne kritična koncentracija vodonika) dolazi vodonične krtosti čelika. Isto se dešava kada se čelik bez galvanske prevlake katodno polarizuje do potencijala koji odgovara korozionom potencijalom prevlake.



Što je veća tvrdoča čelika, veća je njegova sklonost ka vodoničnoj krtosti. Takođe, što je veća razlika

između E_{kor} čelika i E_{kor} prevlake, veća je sklonost čelika prema vodoničnoj krtosti (slika 10).

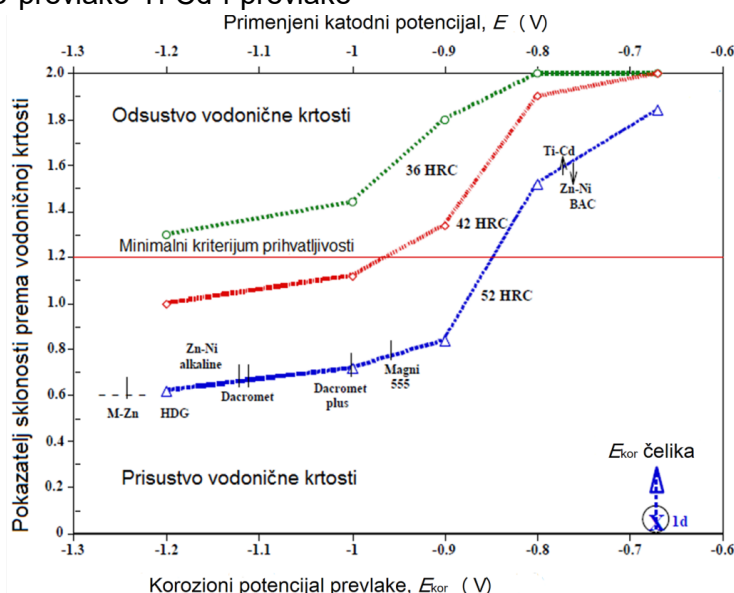


Slika 10. Veza između razlike E_{kor} čelika i E_{kor} prevlake u rastvoru NaCl i maksimalno dozvoljene tvrdoča čelika.

Uticaj nivoa tvrdoče čelika na sklonost prema vodoničnoj krtosti prikazana je na slici 11. Na istoj slici prikazan je uticaj E_{kor} prevlake na sklonost čelika prema vodoničnoj krtosti. Ispitivanje sklonosti prema vodoničnoj krtosti čelika AISI 4340 izvršeno je na epruvetama sa zarezom (koje su slične Šarpijevim epruvetama). Epruvete su imale tvrdoču 52, 42 i 36 HRC. Ispitivanja su izvršena metodom savijanja u tri tačke, u rastvoru NaCl. Na slici 11 se vidi oblast u kojoj ne dolazi do vodonične krtosti, kao i oblast u kojoj dolazi do vodonične krtosti. Može se videti da prevlake cinka najviše katodno polarizuje čelik. U slučaju epruveta sa tvrdočom 36 HRC sve razmatrane prevlake na čeliku su zadovoljile postavljeni kriterijum za otpornost prema vodoničnoj krtosti (prikazan horizontalnom linijom na slici 11). U slučaju epruveta od čelika sa tvrdočom 52 HRC, samo prevlake Ti-Cd i prevlake

Zn-Ni su zadovoljile postavljeni kriterijum. Te prevlake imaju E_{kor} blizak E_{kor} osnovnog metala-čelika i ne dovode do značajnije polarizacije čelika u porama i defektima prevlake.

Postupak ispitivanja vodonične krtosti čelika je detaljno opisan u standardima ASTM F1624 [14] i ASTM F1940 [15]. Navedeni standardi predviđaju nanošenje veštačkog defekta, koji prodire kroz metalnu prevlaku do osnovnog metala-čelika. Pored toga ovim ASTM standardima predviđeno je ispitivanje vodonične krtosti čelika na katodno polarizovanim epruvetama bez galvanske prevlake, u rastvoru NaCl. Ispitivanja se vrše na uzorcima od čelika koji su katodno polarizovani do potencijala koji odgovara vrednosti E_{kor} galvanske prevlake. Korozioni potencijal galvanske prevlake se prethodno izmeri.



Slika 11. Uticaj korozionog potencijala prevlake i nivoa čvrstoće čelika na sklonost prema vodoničnoj krtosti.



U aneksu X2 standarda ASTM G215 [9] opisan je postupak merenja E_{kor} prevlake cinka koja je nanešena toplim postupkom na čelik. U aneksu X3 istog ASTM standarda opisan je postupak određivanja E_{kor} čelika u nekoj korozionoj sredini, u cilju određivanja sklonosti korozione sredine da izazove vodoničnu krtost.

Korozioni potencijal i naponska korozija aluminijumskih legura

Čist aluminijum nije sklon naponskoj koroziji. Od svih legura aluminijuma prema naponskoj koroziji su sklone legure serije 2000, 5000 i 7000.

Za legure serije 2000 (kao što je legura AA 2219) i za legure serije 7000 (kao što su legure AA 7178 i AA 7075) razrađene su ubrzane metode određivanja otpornosti prema naponskoj koroziji, na osnovu merenja korozionog potencijala [16]. Korozioni potencijal se meri u rastvoru metanola (CH_3OH) i ugljen-tetrahlorida (CCl_4) koji su pomešani u određenom odnosu. U slučaju aluminijumskih legura serije 2000 razlika E_{kor} za leguru koja je otporna i koja nije otporna prema naponskoj koroziji iznosi više od 200 mV. U slučaju aluminijumskih legura serije 7000 ta razlika je još izraženija i iznosi preko 400 mV. Anodne i katodne korozione reakcije, pri čijem odvijanju dolazi do formiranja E_{kor} na pomenutim aluminijumskim legurama, razmatrane su u radu [16]. Rezultati merenja E_{kor} u rastvoru metanola i ugljen-tetrahlorida mogu da zamene ispitivanja otpornosti prema naponskoj koroziji navedenih legura klasičnim metodama. Merenja E_{kor} traju manje od 1 h, za razliku od klasičnih metoda određivanja sklonosti prema naponskoj koroziji, koja traju duže od 1 meseca.

Legure serije 2000 (Al-Cu-Mg) su aluminijumske legure visoke čvrstoće (npr. duraluminijum) i najmanje su otporne prema naponskoj koroziji i ostalim vidovima korozije. Sa povećanjem sadržaja Cu u ovim legurama otpornost prema koroziji se smanjuje. Posle visokotemperaturnog homogenizacionog žarenja i kaljenja (često i plastične deformacije koja se izvodi neposredno posle kaljenja), legura se podvrgava starenju na sobnoj temperaturi (prirodno starenje), ili na povišenoj temperaturi (veštačko starenje). Najveću sklonost prema naponskoj koroziji ima legura neposredno pre dostizanja maksimalne čvrstoće (podstareno stanje), a najveću otpornost ima legura u prestarenom stanju, kada je u strukturi legure prisutna stabilna faza Al_2Cu . Takođe, pri nedovoljno brzom kaljenju posle homogenizacionog rastvarajućeg žarenja, po granicama zrna može

doći do izdvajanja čestica stabilne faze Al_2Cu . Usled toga može doći do pojave interkristalne korozije i naponske korozije.

Serija 7000 (Al-Zn-Mg, Al-Zn-Mg-Cu). U ovu seriju spadaju aluminijumske legure najveće čvrstoće. Kao i kod aluminijumskih legura serije 2000 podstareno stanje se odlikuje najmanjom otpornošću prema naponskoj koroziji, a prestarenje stanje najvećom otpornošću. Najbolja kombinacija mehaničkih osobina i otpornosti prema naponskoj koroziji se ostvaruje dvostepenim termičkim taloženjem. Objasnjenje za ovu pojavu se zasniva na karakteru plastične deformacije (klizanja). Bakar ima značajan uticaj na otpornost ovih legura prema naponskoj koroziji. Legure bez Cu (Al-Zn-Mg) su manje otporne prema naponskoj koroziji od legura sa Cu (Al-Zn-Mg-Cu).

Kao i kod aluminijumskih legura serije 2000, otpornost prema naponskoj koroziji legura serije 7000 može se proceniti na osnovu merenja korozionog potencijala u rastvoru metanola i ugljen-tetrahlorida.

Korozioni potencijali korozija metalnih implantanata

Implantanti koji se ugrađuju u ljudski organizam moraju se prethodno detaljno ispitati. Posebno je značajno ispitivanje otpornosti prema različitim vidovima opšte i lokalizovane korozije. Lokalizovana korozija implantanata može dovesti do njihovog oštećenja. Tokom procesa opšte i lokalizovane korozije mogu nastati rastvorni produkti korozije, koji mogu imati štetno dejstvo na ljudski organizam.

Standard ASTM F2129 [17] opisuje postupke ispitivanja izrađenih implantanata na otpornost prema piting koroziji i koroziji u zazorima. Ispitivanja se izvode primenom standardne potenciodinamičke tehnike, u rastvoru koji je po sastavu sličan rastvoru u ljudskom organizmu (na temperaturi 37 °C). Na osnovu potenciodinamičkih merenja određuje se korozioni potencijal E_{kor} , piting potencijal E_{pit} i zaštitni potencijal E_{prot} implantanata. Kao pokazatelj otpornosti prema piting koroziji uzima se vrednost E_{pit} ili razlika $E_{pit} - E_{kor}$, a kao pokazatelj otpornosti prema koroziji u zazorima uzima se vrednost E_{prot} ili razlika $E_{prot} - E_{kor}$.

Standard ASTM F3044 [18] razmatra kompatibilnost izrađenih implantanata u sklopu (formiranim zavarivanjem ili na neki drugi način), sa aspekta galvanske korozije. Ukoliko je razlika korozionih potencijala pojedinih komponenata velika može doći do intenzivne galvanske korozije, uz rastvaranje manje plemenite komponente.

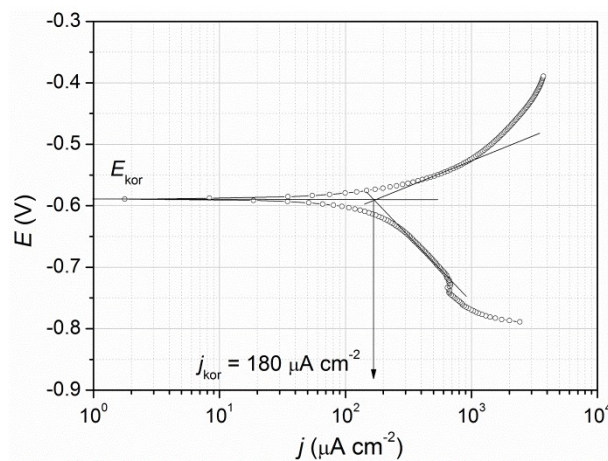


Nastali korozioni produkti mogu imati veoma štetno dejstvo po ljudski organizam. Merenja E_{kor} se izvode u rastvoru koji je po sastavu sličan rastvoru u ljudskom organizmu (na temperaturi 37 °C). Pored korozionog potencijala, kvantitativan pokazatelj sklonosti prema galvanskoj koroziji je struja koja protiče između komponenata implantanta, koje su u električnom kontaktu. Izmerena struja je posledica razlike u korozionim potencijalima komponenata implantanta. Tokom ispitivanja galvanske korozije implantanata koji se sastoji od više komponenata, na ukupnoj površini implantanta u kontaktu sa rastvorom dolazi do formiranja jedinstvenog (zajedničkog) korozionog potencijala. Komponente koje imaju negativniji E_{kor} polarišu se anodno sve do vrednosti jedinstvenog (zajedničkog) E_{kor} , pri čemu se dodatno rastvaraju. Sa druge strane, komponente koje imaju pozitivniju vrednost E_{kor} polarišu se katodno takođe do vrednosti jedinstvenog (zajedničkog) E_{kor} . Na tim komponentama odvija se katodna reakcija.

Opisana ispitivanja piting korozije i galvanske korozije se izvode na izrađenim originalnim implantantima za kliničku upotrebu.

Korozioni potencijal i elektrohemiske metode određivanja brzine korozije

Voltametrija sa linearom promenom potencijala (LSV) primenjena je za dobijanje Tafelovih polarizacionih dijagrama, u skladu sa standardom ASTM G102 [19]. Uzorak od čelika polarizovan je u oblasti potencijala $E = \pm 0.200$ V u odnosu na E_{kor} , uz registrovanje odgovarajuće gustine struje j . Gustina struje korozije j_{kor} direktno je određena sa Tafelovog dijagrama ekstrapolacijom linearnih delova anodne i katodne polarizacione krive do korozionog potencijala E_{kor} , kao što je prikazano na slici 12. Kao što se vidi na prikazanom dijagramu, $j_{kor} = 180 \mu\text{A cm}^{-2}$. Gustina struje korozije j_{kor} preračunata je u brzinu korozije v_{kor} prema standardu ASTM G102 [18]. Metoda se često koristi za koroziona ispitivanja različitih zona zavarenog spoja (ZUT, metal šava).



Slika 12. Eksperimentalni Tafelov dijagram za srednjelegirani ugljenični čelik [20].

ZAKLJUČAK

Pri odvijanju procesa korozije, na površini metala se spontano uspostavlja korozioni potencijal E_{kor} . Izmerena vrednost E_{kor} može se upotrebiti za procenu korozionog ponašanja metala i legura i njihovih zavarenih spojeva. Merenje E_{kor} se izvodi jednostavno, uz pomoć referentne elektrode i uređaja za merenje potencijala (komercijalni multimetar). Primena merenja E_{kor} za procenu korozionog ponašanja metala i njihovih zavarenih spojeva je razmotrena na više primera:

Pokazano je da se, na osnovu merenja promene E_{kor} , može suditi o tipu inhibitora korozije koji je prisutan u rastvoru.

Primenom metode elektrohemiskog šuma, na osnovu merenja E_{kor} , može se registrovati pojava lokalizovane korozije metala i legura i njihovih zavarenih spojeva.

Rizik od pojave vodonične krtosti čelika i njegovih zavarenih spojeva može se predvideti na osnovu merenja E_{kor} . Takođe je pokazano kako se na osnovu merenja korozionog potencijala može predvideti sklonost aluminijumskih legura serije 2000 i 7000 prema naponskoj koroziji.

Na osnovu vrednosti E_{kor} i E_{pit} može se odrediti sklonosti zavarenih spojeva nerđajućih čelika prema piting koroziji.



Na osnovu merenja E_{kor} čelične armature u betonu može se odrediti da li je došlo do aktivne korozije armature (rastvaranja čelične armature).

Na osnovu vrednosti korozionog potencijala zasnivaju se kriterijumi aktivne i protektorske katodne zaštite.

Na osnovu korozionog potencijala komponenata hirurških implantanata može se proceniti opasnost od pojave galvanske korozije implantanata.

LITERATURA

- [1] B.V. Jegdić, B.M. Bobić, M. Bošnjakov, Reationship between corrosion potential and different corrosion forms of metals, alloys and theirs welded joints-part I, Zavarivanje i zavarene konstrukcije, 2 (2017) 65-76.
- [2] B. Bobić, B. Jegdić, J. Stevanović, Ispitivanje zaštitne sposobnosti inhibitora korozije razblaženim rastvorima hlorida, Zaštita materijala, 58 (2017) 41 – 46.
- [3] Corrosion metals and alloys-Guidelines for corrosion test by electrochemical noise measurements-ISO 17093.
- [4] Standard Guide for Electrochemical Noise Measurement-ASTM G199
- [5] Conducting Cyclic Potentiodynamic Polarization Measurements for Localized Corrosion Susceptibility of Iron-, Nickel-, or Cobalt-Based Alloys-ASTM G61.
- [6] Corrosion of metals and alloys — Method of measuring the pitting potential for stainless steels by potentiodynamic control in sodium chloride solution-ISO 15158
- [7] B. Jegdić, B. Bobić, D. Nedeljković, B. Alić, Uticaj jačine struje zavarivanja na otpornost prema piting koroziji zavarenog spoja nerđajućeg čelika X5CrNi18-10, Zastita Materijala 58 (3) (2017) 297 – 303.
- [8] Laboratory Evaluation of Magnesium Sacrificial Anode Test Specimens for Underground Applications-ASTM G97.
- [9] Electrode Potential Measurement-ASTM G215.
- [10] Corrosion Potentials of Uncoated Reinforcing Steel in Concrete-ASTM-C876.
- [11] T. Yamaguchi, Y. Kato, S. Miyazato, M. Kanematsu, H. Minagawa, H. Kobayashi, M. Yamamoto, Technical committee on systematization of electrochemical measurement based on physicochemical theory, Report : JCI-TC134A-2015.
- [12] H.H. Uhlig, R.W. Revie, Corrosion and corrosion control: an introduction to corrosion science and engineering—4th ed., John Wiley and Sons, New Jersey, 2008.
- [13] Metallic and other inorganic coatings - Simultaneous thickness and electrode potential determination of individual layers in multilayer nickel deposits (STEP test)-EN 16866.
- [14] Measurement of Hydrogen Embrittlement Threshold in Steel by the Incremental Step Loading Technique-ASTM F1624.
- [15] Process Control Verification to Prevent Hydrogen Embrittlement in Plated or Coated Fasteners-ASTM F1940.
- [16] Dostizhenija nauki o korrozii i tehnologija zaschiti ot nee. Korrozionnoe rastreskivanie metallov, (prevod sa Engleskog), Moskva, Metallurgija, 1985.
- [17] Conducting Cyclic Potentiodynamic Polarization Measurements to Determine the Corrosion Susceptibility of Small Implant Devices-ASTM F2129.
- [18] Evaluating the Potential for Galvanic Corrosion for Medical Implants-ASTM F3044.
- [19] Standard Practice for Calculation of Corrosion Rates and Related Information from Electrochemical Measurements-ASTM G102.
- [20] B. Bobić, B. Jegdić, M. Burzić, Z. Damnjanović, Corrosion Testing of Sa Gr. 91 Steel, Integritet i vek konstrukcija 17 (2017) 15-20.